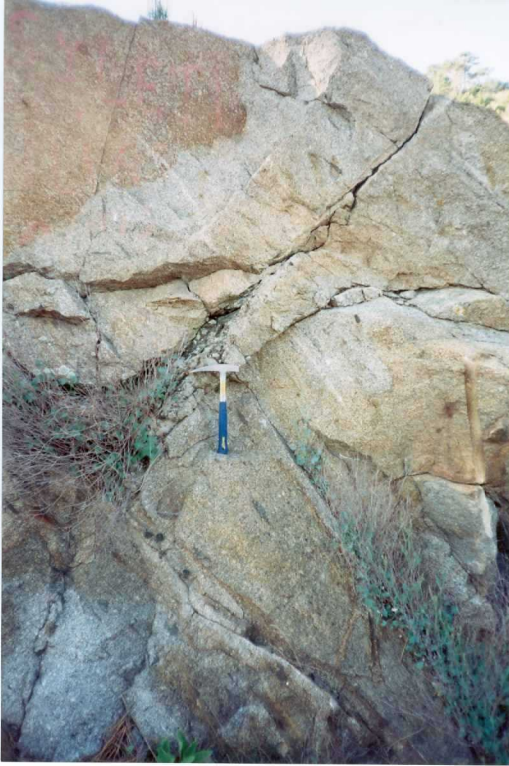




LR-9500F.- Detalle del aspecto textural del monzogranito biotítico porfídico, tipo La Garbanza (12). Nótese la orientación errática de los megacristales feldespáticos y el idiomorfismo de estos, incluso en los más expuestos.



LR-9501F.- Afloramiento de la granodiorita inhomogénea foliada (8). Observese la marcada fábrica planar magmato-deformativa con fuerte estiramiento y aplastamiento de enclaves microgranudos y megacristales feldespáticos.



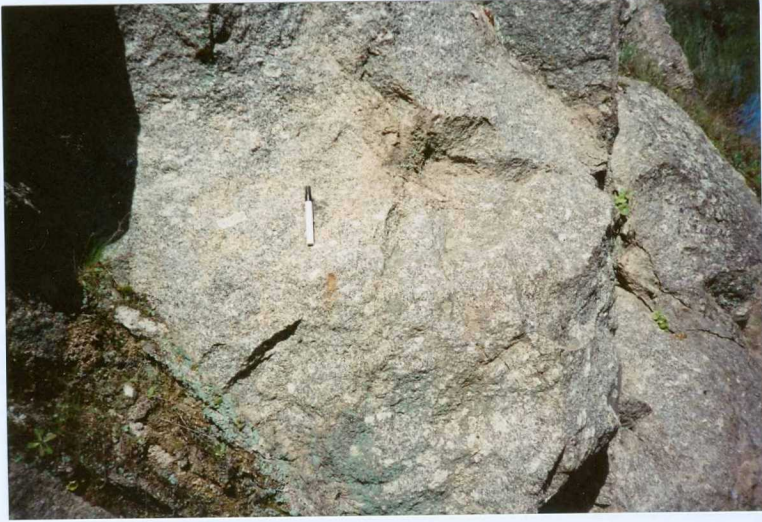
LR-9502F.- Detalle del aspecto textural del monzogranito biotítico porfídico, tipo La Garbanza (12). Nótese la orientación errática de los megacristales feldespáticos y la dispersión heterogénea de estos.



LR-9503F.- Detalle del aspecto textural del monzogranito biotítico porfídico, tipo La Garbanza (12). En la foto se puede observar la heterogenidad textural de esta unidad, que varía desde términos porfiroides con matriz de tendencia microcristalina (en el centro de la foto) a términos con mesostasis granuda de grano medio-grueso.



LR-9504F.- Detalle de la marcada disposición norteada de megacristales y enclaves microgranudos en la granodiorita-monzogranito biotítico porfídico con megacristales abundantes (10b).



LR-9505F.- Aspecto textural de la granodiorita-monzogranito biotítico porfídico con megacristales abundantes (10b).



LR-9506F.- Aspecto textural de los leucogranitos aplopegmatíticos con turmalina y granate (15).



LR-9507F.- Aspecto textural del granitoide inhomogéneo (6), en su variedad más porfídica.



LR-9508F.- Heterogeneidades, bandeados mágmaticos y enclaves metasedimentarios muy transformados en el granitoide inhomogéneo (6).



LR-9509F.- Vista general del contacto entre el granitoide diatexítico (7) y la granodiorita inhomogénea foliada (8). Notese el carácter neto, la geometría relativamente regular y el suave buzamiento hacia el norte del contacto (vista hacia el Este) (PIG-4).



LR-9510F.- Vista general del contacto entre el granitoide diatexítico (7) y la granodiorita inhomogénea foliada (8). Notese el carácter neto, la geometría relativamente regular y el suave buzamiento hacia el norte del contacto (vista hacia el Oeste) (PIG-4).



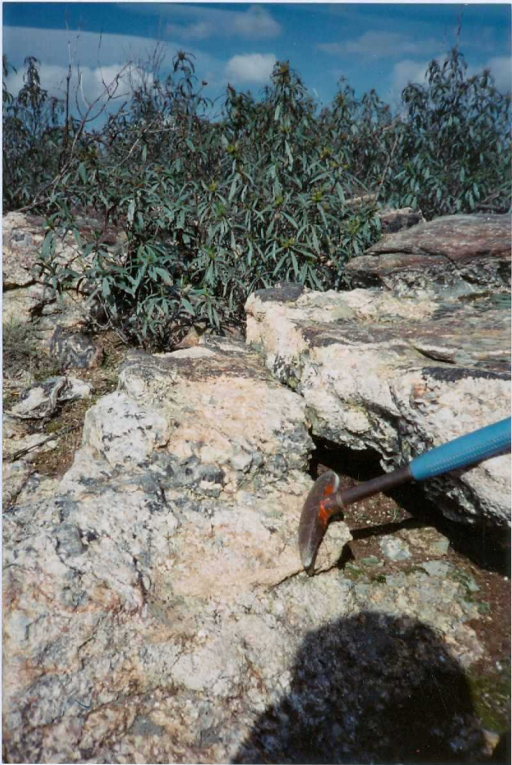
LS-9100F.- Detalle de la granodiorita-monzogranito biotítico porfídico con megacristales abundantes (10b) afectado por deformación ductil de la Sierra de San Vicente. Observense los megacristales rotados y redondeados, y la fábrica planar penetrativa patente en el angulo sup. der. de la foto (PIG-3).



LS-9101F.- Enclaves metasedimentarios (esquists, cuarcitas y calcoesquists) concordantes con la fábrica magmato-deformativa de la granodiorita inhomogénea foliada (8).



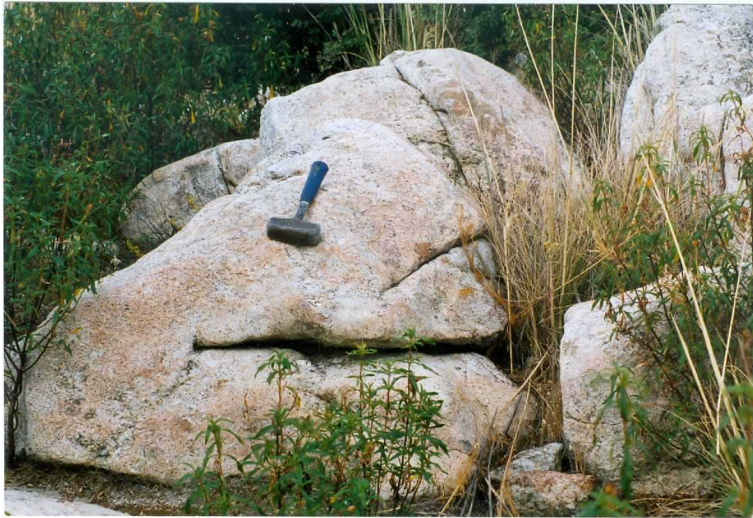
LS-9102F.- Afloramiento de granitoide inhomogéneo (6), variedad rica en megacristales en la proximidad al contacto de esta unidad con el granitoide diatexítico (7).



LS-9103F.- Detalle de la intensa turmalinación en el contacto de los leucogranitos aplo-pegmatíticos con turmalina y granate (15) con los metasedimentos encajantes. Nótese la disposición laminar de la aplopegmatita (PIG-1).



LS-9104F.- Detalle de las diferenciaciones texturales aplita-pegmatita con morfología laminar de los leucogranitos aplopegmatíticos con turmalina y granate (15) (PIG-1).



LS-9105F.- Aspecto general de los afloramientos de leucogranitos aplopegmatíticos con turmalina y granate (15) (PIG-1).



LS-9106F.- Detalle de las diferenciaciones texturales aplita-pegmatita con morfología laminar de los leucogranitos aplopegmatíticos con turmalina y granate (15) (PIG-1).



LS-9107F.- Detalle de la granodiorita-monzogranito biotítico porfídico con megacristales (10b) afectado por deformación dúctil de la Sierra de San Vicente.



LS-9108F.- Aspecto general de los afloramientos del dique de granófiro de mayor desarrollo en la Hoja de Sotillo en una cantera de funcionamiento intermitente (PIG-2).



LS-9109F.- Aspecto general de los afloramientos del dique de granófiro de mayor desarrollo en la Hoja de Sotillo en una cantera de funcionamiento intermitente (PIG-2).



LS-9110F.- Detalle del aspecto del granófiro (2) (PIG-2).

\*NO TIENE UBICACIÓN EN EL PLANO DE SITUACIÓN DE NUESTRAS,  
NI EN MCC1



LS-9111F.- Deformación dúctil y formación de tension gaps rellenas de cuarzo en el granófiro (2) (PIG-2).

\*NO TIENE UBICACIÓN EN EL PLANO DE SITUACIÓN DE MUESTRAS, NÍ EN MCC1.